

細長い物体のまわりの流れ

東大 生研 成瀬文雄

§1 あらまし

細長い物体のまわりの流れについて、つきの仮定で研究する。1. 基礎方程式はストークス方程式、2. 物体の形は任意で、代表的長さを ℓ とする、3. 物体の断面の形も任意(円への写像関数が既知)で、代表的長さを b とする、4. 物体の速度 $U_b(\theta)$ は任意で、物体に沿って変つてよい、ここで θ は物体の中心軸に沿って、ある点から測った長さとする、5. 物体がまわりの速度 $U(r)$ 、圧力 $P(r)$ はストークス方程式をめた範囲内で任意に与えられる。ここで r は位置ベクトルである、6. $k (= b/\ell) \ll 1$ を仮定する。

以上のよう仮定のもとに、 $O(k^2, 0 < v < 1)$ まで正積分方程式を、ヨリツな方法で導出し、つきのように場合に、この積分方程式の厳密解が得られることを示す。(下記)

(i) 断面の大きさを γ にとって、ある特別の分布をしている

ときの直線状物体の運動。(ii) 断面が一様なリンクの運動。

(iii) 断面が一様でかつ無限に続く螺旋状物体の回転してしかも適當な速度での直進運動。

細長い物体のまわりの流れる流れについては、断面が円の場合には、Hancock¹⁾, Tchen²⁾, Cox³⁾, Keller & Rubinow⁴⁾などによつて、また断面が円または梢円でかつ直線状物体の場合にはBatchelor⁵⁾によつて、積分方程式による方法またはパラメータ $\varepsilon (= (\log k)^{-1})$ による展開の方法で研究されてきた。本稿の研究は上記文献と比較して、つとの点に特徴がある。(1) 得られた積分方程式またはによる展開の方法、(2) これも、断面の形が任意(円柱への写像函数が既知)である場合に適用すること。(2) 断面が一様なリンクの運動の解は、リンク間に直角の運動を除いて、断面が円の場合につても、 $O(k^r, 0 < r < 1)$ の精度まで正しい解は得られてゐるとと思われるが、断面が任意の場合についてこの精度まで正しい解が得られたこと。(3) 無限に続く螺旋の運動については、断面が円の場合、積分方程式の解がLighthill (Flagellar Hydro-

積分方程式の厳密解は $\varepsilon (= (\log k)^{-1})$ による展開の解を ε^∞ まで重ね合わすことによつて得られる。筆者が本研究集会でなした講演のときには、このよう今方法によつて本稿にのべられてゐる結果と同一の結果を示した。

namics, Lecture Note, (1975) によって得られてるが、断面が任意の場合に拡張されてること。

§2. 基礎方程式ときりつ法

いま無次元化変数として

$$\eta = \frac{y^*}{U_0}, \quad r = \frac{r^*}{l}, \quad P^* l / \mu U_0 = \phi \quad (1)$$

とおらしきとき、ストークス方程式は

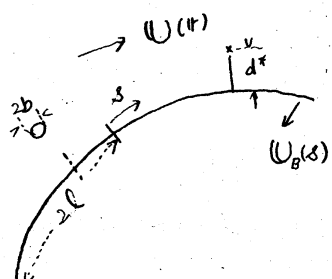
$$\Delta \eta - \nabla \cdot \phi = 0, \quad \nabla \cdot \eta = 0 \quad (2)$$

となる。また境界条件はつきのようになる。

$$\text{物体上: } \eta = U_b(s) \quad (3)$$

$$\text{物体から離さ: } \eta = U(r), \quad \phi = P(r) \quad (4)$$

この問題には代表的長さがある。一つは物体の長さの尺度を表す l と、他の一つは物体の断面の尺度を表す b



第1図

$$d = d^*/l, \quad \bar{d} = d^*/b \quad (5)$$

定義される d , \bar{d} を序之、 $d \sim O(1)$ を外部領域とし、 $\bar{d} \sim O(1)$ を内部領域とする。

§3 外部領域と外部解

細長い物体の中心線上にストークス源、2重ストークス源、
---を分布させて、外部解として用ひることができます。2
重ストークス源、---は物体上の境界条件を満足せよう
とするときには必要があるが、外部解で果す役割はストーク
ス源と比較して $O(\kappa)$ より少くない。したがって、 $O(\kappa^2,$
 $0 < \nu < 1)$ まで正確な結果を得るのをとする現在、中心線上に
ストークス源だけを分布させたのが充分である。

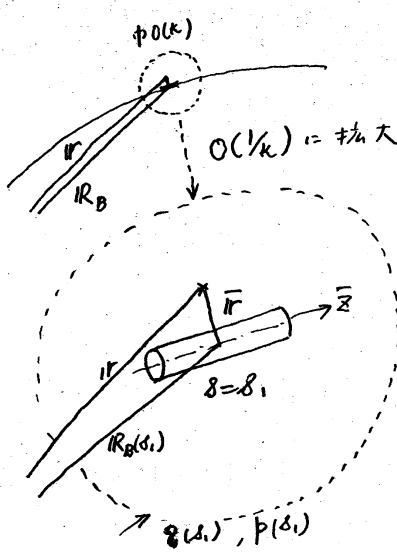
$d = d^*/\ell \sim O(1)$ の外部領域であるから、外部変数 $Ir = r^*/\ell$
とし、 θ 上に強さ、方向とも未定のストークス源 $C(s) \vec{R}'(s)$
を分布させたものを外部解としてとる。このとき外部解の速
度 u 、圧力 p はつきのように表わされる。

$$u = U(Ir) - \int_{s_0}^{s_2} C(s) \left\{ \frac{\vec{R}'(s)}{R} + \frac{(\vec{R}'(s) \cdot Ir)}{R^3} Ir \right\} ds \quad (6)$$

$$p = P(Ir) - 2 \int_{s_0}^{s_2} C(s) \frac{(\vec{R}'(s) \cdot Ir)}{R^3} ds \quad (7)$$

ここで $R = Ir - R_B(s)$ であり、また $R_B(s)$ は ds の位置ベクトル
である。なおストークス源の強さ $C(s)$ 、方向 $\vec{R}'(s)$ は内部解と
のマッチングによりもたらす量である。

§4 内部領域と内部解



第2図

内部領域は $d = \frac{d}{k} \sim O(1)$ である

から、内部変数 \bar{r} として

$$\bar{r} = (r - R_B(s_1)) / k \quad (8)$$

のようにとる。この場合内部領域の巾 $O(k)$ の部分が $O(1)$ に拡大されることになる。いま $O(k)$ の量を省略するとき、内部領域ではつきのようなることが成立する。

(1) 物体の形は2次元物体(まき)に変化しない)として取扱つてよい。

(2) 物体より遠く、共通領域($\bar{r} \sim O(1/k^2)$, $0 < \bar{s} < 1$)は外部変数 $d \sim 0$ の領域と考へてよいから、共通領域での速度、圧力は外部解より $u(s_1)$, $v(s_1)$ の形で与えられる。したがつて内部領域の問題としては、 $u(s_1)$, $v(s_1)$ の一様流中に2次元物体があかれたときの解をもつてくればよい。

(3) 細長い物体がある流れの中にあるとき、物体近傍まで流れの状態はあまり変化しないで、物体近傍つまり内部領域で急速に速度の変化がある。したがつて、粘性応力、圧力とも $O(\frac{1}{k} \cdot \frac{\mu U_0}{\ell})$ の量で、大きめの力が表面に働くことになる。

以上の様なことを考慮して、内部変数はつきのように選ばれる。

$$\bar{r} = (r - R_B(s_1)) / \kappa, \quad \bar{\theta} = \theta, \quad \bar{P} = \kappa (P - P_B) \quad (9)$$

いま $\bar{r} = (\bar{x}, \bar{y}, \bar{z})$, \bar{e} は \bar{z} 方向の単位ベクトルとし、
つきのようには \bar{e} に平行な流れと \bar{e} に直角な流れに分割する。

$$\bar{q} = \omega t + w \quad (10)$$

$$U_B(s_1) = \bar{w}_B(s_1) \bar{t} + \bar{w}_B(s_1), \quad U(s_1) = W(s_1) \bar{t} + V(s_1) \quad (11)$$

(10), (11) 及 (12), (3) に代入して $\frac{\partial}{\partial z} = 0$ を用ひよせ、

$w = w(x, y)$, $V = V(x, y)$ に対する方程式及び境界条件として

$$\begin{aligned} \Delta w &= 0 \\ \text{物体上: } w &= w_B(s_1) \end{aligned} \quad \left. \right\} \quad (12)$$

$$\begin{aligned} \Delta V - \nabla \bar{P} &= 0, \quad \nabla \cdot V = 0 \\ \text{物体上: } V &= V_B(s_1) \end{aligned} \quad \left. \right\} \quad (13)$$

が得られる。ここで Δ , ∇ ともに 2 次元 (\bar{x}, \bar{y}) に属するオペレータである。

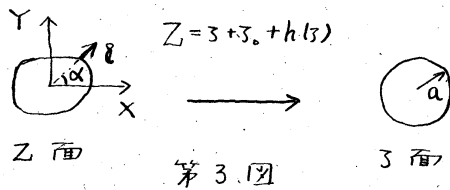
(ii) V に対する解

2 次元物体のまわりのおきの流れにおける内部解(文献(6))
がこのまま適用できる。 $\sqrt{\bar{x}^2 + \bar{y}^2} = \bar{P}$ で \bar{P} を定義して、 $\bar{P} \gg 1$
のとき V , \bar{P} はつきのよき漸近解を持つ。

$$\begin{aligned} \bar{P} \gg 1: \quad V &= B \left[\left(\log \frac{\bar{P}}{\alpha_1} - b_1(s_1) \right) \bar{e} - \frac{(l \cdot \bar{P}) \bar{P}}{\bar{P}^2} - c_1(s_1) \bar{f} \right] + V_B(s_1) + O\left(\frac{1}{\bar{P}}\right) \\ \bar{P} &= - \frac{2B(l \cdot \bar{P})}{\bar{P}^2} + O\left(\frac{1}{\bar{P}^2}\right) \end{aligned} \quad \left. \right\} \quad (14)$$

ここでストークス源の強さ及方向を表す B , \bar{e} は未定

τ , マッチングからきます。また Z 面 (\bar{z} に直角子面) にお



$$Z = z_0 + h(z)$$

第3図

ける断面の形が、実像函数

$$Z = z_0 + h(z) \quad (z \rightarrow \infty : h(z) \rightarrow 0)$$

3面

\bar{z} 3面の半径 a の内に実像を

れさせ、 $a, b_1(\theta), c_1(\theta)$ はつきのようにえます。

$$\left. \begin{aligned} a_1 &= a, \quad b_1(\theta) = -\frac{1}{2} (1 + r \cos(\beta + 2\alpha)), \quad c_1(\theta) = \frac{r}{2} \sin(\beta + 2\alpha) \\ re^{i\beta} &= \frac{1}{2\pi a} \int_0^{2\pi} \frac{\bar{h}(ae^{-i\theta}) - ae^{-i\theta} h'(ae^{i\theta})}{e^{i\theta} (1 + h'(ae^{i\theta}))} d\theta \end{aligned} \right\} (15)$$

また α は \bar{z} と X 軸とのなす角である。

ストークス源の強さ及ひ方向 B , \bar{z} がきまること、単位長
を当り物体に働く力の \bar{z} に直角な成分 $F_{\bar{z}}$ は

$$F' = 4\pi \mu U_0 B \bar{z} \quad (16)$$

で与えられます。

(ii) $w = f(z) + g(\bar{z})$ 解

$w = f(z) + g(\bar{z})$ を用いて (14) 式に相当する解を求めてみる

$$\bar{P} \gg 1$$

$$w = A \log \frac{\bar{P}}{a_1} + w_B(d_1) + O\left(\frac{1}{\bar{P}}\right) \quad (17)$$

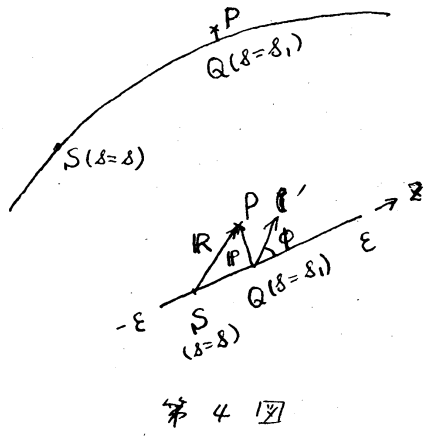
が得られ、また単位長を当り物体に働く力の \bar{z} 成分 $F_{\bar{z}}$ は

$$F_{\bar{z}} = 2\pi \mu U_0 A \quad (18)$$

のようになります。

§5 共通領域における外部解の表示

共通領域の奥を P とし、 P から



最も近い物体上の位置を $Q(s=s_1)$

とする。 $\vec{QP} = \vec{P}$ とおくとき、

$P \sim O(k^{1-\delta}, 0 < \delta < 1)$ とする。

(6) 式の書きの積分に注目しよう。

$$I = \int_{s_0}^{s_2} C(s) \left\{ \frac{\ell'(s)}{R} + \frac{(\ell'(s) \cdot R)}{R^3} \right\} ds$$

第 4 図

この積分に含まれる R は $s=s_1$ の付近で $O(k^{1-\delta}, 0 < \delta < 1)$ の量となるため、 s_1 の付近だけこの積分を分解して取扱う。

$$I = \int_{s_0}^{s_1-\varepsilon} + \int_{s_1+\varepsilon}^{s_2} + \int_{s_1-\varepsilon}^{s_1+\varepsilon} C(s) \left\{ \frac{\ell'(s)}{R} + \frac{(\ell'(s) \cdot R)}{R^3} \right\} ds = I_1 + I_2 + I_3 \quad (9)$$

の二つとくわけて、第2番目の積分 I_2 に対して、 $P \ll \varepsilon \ll l$ のように ε をとり、その部分の物体を図のごく直線であるとしている。また $\ell'(s)$ の x 軸となす角を θ 、 $\ell'(s)$ の x に直角な面への射影の方向を x' 方向にとり、 x' 方向の単位ベクトルを $e_{x'}$ とおく。また現在の近似の程度では、 I_2 の積分における $R = \vec{SP} = \vec{SQ}$ として計算しなければならないが、 I_1, I_3 における $R = \vec{SQ}$ とおいたのである。

以上のような注意をして、共通領域 P における外部解の速度 η を計算するととき、 η は

$$\begin{aligned}
 \bar{q} = & U(s_1) + \underbrace{\left[4C(s_1) \cos\phi (\log P - \log 2 + \frac{1}{2}) \right] t} \\
 & + \underbrace{2C(s_1) \sin\phi \left\{ (\log P - \log 2) \mathfrak{C}_{x'} - \frac{(P \cdot \mathfrak{C}_{x'})}{P^2} P \right\}}_{\text{ここで } \mathfrak{C}_{x'} = \frac{d\theta}{ds}} + K(s_1), \\
 K(s_1) = & \int_{s_0}^{s_1-\varepsilon} + \int_{s_1+\varepsilon}^{s_2} \left\{ -C(s) \left(\frac{\theta(s)}{R} + \frac{(\theta(s) \cdot IR)}{R^3} R \right) \right\} ds \\
 & - 4C(s_1) \cos\phi t \log \varepsilon - 2C(s_1) \sin\phi \mathfrak{C}_{x'} \log \varepsilon
 \end{aligned} \tag{20}$$

のように得られる。ここで IR は θ と s_1 を結ぶベクトルである。
また上式で $\mathfrak{C}_{x'}$ の部分は、(19) の I_2 の計算の結果でえたものである。

§ 6 共通領域におけるマッシュングと積分方程式

共通領域 P の内部解の表示は、(14), (17) に $\bar{P} = P/k$ として
入し、かつ $\lambda = \log 1/k$ とおいて

$$\bar{q} = A(\log \bar{P} + \lambda - \log a_1) t + B \left[(\log \bar{P} + \lambda - \log a_1 - b_1(s)) \bar{s} - \frac{(\bar{P} \cdot \bar{s}) \bar{P}}{\bar{P}^2} - C_1(s) \bar{s} \right] + U_0(s_1) \cdots (21)$$

のようになる。 (20), (21) のマッシュングから

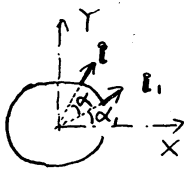
$$\begin{aligned}
 4C(s_1) \sin\phi &= A, \quad 2C(s_1) \sin\phi = B, \quad \mathfrak{C}_{x'} = \bar{s} \\
 C(s_1) \bar{s}'(s_1) &= C(s_1) \cos\phi t + C(s_1) \sin\phi \mathfrak{C}_{x'} = (A/4)t + (B/2)\bar{s}
 \end{aligned} \tag{22}$$

が得られる。また (20) と (21) を等置いて、(22) を代入すると
き、 $A(s)$, $B(s)$ と $\bar{s}(s)$ の 3 種の未知関数に対するつきの積分方
程式が得られる。

$$\begin{aligned}
 K(s_1) &= A(\lambda + \log 2 - \frac{1}{2} - \log a_1) t + B[(\lambda + \log 2 - b_1(\varepsilon)) - \log a_1] \ell \\
 &\quad - c_1(\ell) f] + W_b(s_1) - U(s_1) \\
 K(s_1) &= \int_{s_0}^{s_1-\varepsilon} + \int_{s_1+\varepsilon}^{s_2} \left[-\frac{\frac{A}{4}t + \frac{B}{2}\ell}{R} - \frac{\frac{A}{4}(R \cdot t) + \frac{B}{2}(R \cdot \ell)}{R^3} \right] d\delta - (At + B\ell) \log \varepsilon
 \end{aligned} \tag{23}$$

積分方程式 (23) は未定のベクトル ℓ を含む。引く $b_1(\varepsilon)$, $c_1(\ell)$ を ℓ の方向によって変えるから取扱い難い。このまま改良するため、 t , ℓ の代わりに ℓ_1 , ℓ_2 を導入し、 ℓ_1 , ℓ_2 の方向はあらかじめ定めておき、積分方程式の書き換をする。

$$B\ell = I\ell_1 + J\ell_2, \quad b_1(\varepsilon) = -\frac{1}{2} + \bar{b}_1(\varepsilon) \tag{24}$$



とき、また乙面で X と ℓ_1 のなす角を α_1 ,

ℓ と ℓ_1 のなす角を α とおくとき、(15), (24) より

図 5 図

$$\bar{b}_1(\varepsilon) = -\frac{\varepsilon}{2} \cos(\beta + 2\alpha_1 + 2\alpha), \quad c_1(\ell) = \frac{\varepsilon}{2} \sin(\beta + 2\alpha_1 + 2\alpha)$$

$$\bar{b}_1(\ell_1) = -\frac{\varepsilon}{2} \cos(\beta + 2\alpha_1), \quad c_1(\ell_1) = \frac{\varepsilon}{2} \sin(\beta + 2\alpha_1)$$

$$\cos \alpha = \frac{I}{B}, \quad \sin \alpha = \frac{J}{B}$$

が成立する。上式より (2) の関係式が得られる。

$$B(\bar{b}_1(\varepsilon)\ell + c_1(\varepsilon)f) = (I\bar{b}_1(\ell_1) + Jc_1(\ell_1))\ell_1 + (-J\bar{b}_1(\ell_1) + Ic_1(\ell_1))f,$$

上式で (23) にて入る、 $s \rightarrow s$, $s \rightarrow s'$ の変数交換をして、

$$\begin{aligned}
 K &= A(\lambda + \log 2 - \frac{1}{2} - \log a_1)t + [(\lambda + \log 2 + \frac{1}{2} - \bar{b}_1(\ell_1) - \log a_1)I - c_1(\ell_1)J]\ell_1 \\
 &\quad + [-c_1(\ell_1)I + (\lambda + \log 2 + \frac{1}{2} + \bar{b}_1(\ell_1) - \log a_1)J] + W_b(s) - U(s) \\
 K &= \int_{s_0}^{s_1-\varepsilon} + \int_{s_1+\varepsilon}^{s_2} \left[-\frac{\frac{A}{4}t + \frac{1}{2}(I\ell_1 + J\ell_2)}{R} - \frac{\frac{A}{4}(R \cdot t) + \frac{1}{2}\{I(R \cdot \ell_1) + J(R \cdot \ell_2)\}}{R^3} \right] d\delta' - (At + I\ell_1 + J\ell_2) \log \varepsilon
 \end{aligned} \tag{25}$$

が得られる。未知関数 $A(s)$, $I(s)$, $J(s)$ に関する積分方程式⁽²⁵⁾がとけるとき、物体に働く力が決定である。いま α の部分に働く力を $f ds$ とするとき

$$f = 2\pi\mu U_0 (A\ell + 2BI) = 2\pi\mu U_0 (A\ell + 2I\ell_1 + 2J\ell_1) \quad (26)$$

となり、物体に働く力 F 及び原点のまわりのトルク G は

$$F = \ell \int_{\ell_0}^{\ell_2} f ds, \quad G = \ell^2 \int_{\ell_0}^{\ell_2} I(s) \times f ds \quad (27)$$

のようにきます。

特別の形の物体の運動に対しては、この積分方程式の解は容易にみつかるが、この解を直接求めることが難しい場合も多い。このときは解を $\varepsilon = (1/\lambda)$ について展開する方法を取ることができる。すなわち

$$A = \sum_{n=1}^{\infty} \varepsilon^n A_n, \quad I = \sum_{n=1}^{\infty} \varepsilon^n I_n, \quad J = \sum_{n=1}^{\infty} \varepsilon^n J_n, \quad K = \sum_{n=1}^{\infty} \varepsilon^n K_n \quad (28)$$

として展開して (25) 式に代入し、 ℓ_1 の方向を $W - W_0 = W_0$ の方向にとるととき、 \rightarrow の漸化式が得られる。

$$A_1 = W - W_0 = W_0, \quad I_1 = |W - W_0| = V_0, \quad J_1 = 0$$

$n \geq 2$:

$$A_n = (\log \frac{a_1}{2} + \frac{1}{2}) A_{n-1} + K_{n-1}$$

$$I_n = (\log \frac{a_1}{2} - \frac{1}{2} + b_1(\ell_1)) I_{n-1} + c_1(\ell_1) J_{n-1} + d_{n-1}$$

$$J_n = (\log \frac{a_1}{2} - \frac{1}{2} - b_1(\ell_1)) J_{n-1} + c_1(\ell_1) I_{n-1} + e_{n-1}$$

$$\left. \begin{aligned} K_{n-1} t + d_{n-1} \ell_1 + e_{n-1} \delta_1 = K_{n-1} &= \int_{\delta_0}^{\delta-\varepsilon} + \int_{\delta+\varepsilon}^{\delta_2} \left[- \frac{A_{n-1} t + \frac{1}{2} (I_{n-1} \ell_1 + J_{n-1} \delta_1)}{R} \right. \\ &\left. - \frac{\frac{A_{n-1}}{4} (R \cdot t) + \frac{1}{2} \{ I_{n-1} (R \cdot \ell_1) + J_{n-1} (R \cdot \delta_1) \}}{R^3} R \right] d\delta' - (A_{n-1} t + I_{n-1} \ell_1 + J_{n-1} \delta_1) \log \varepsilon \end{aligned} \right\} (30)$$

まず (29) を用いて境界条件より A_1, I_1, J_1 がえます。つづいて (30) の K_1 を計算して K_1, d_1, e_1 がえまり、さらに (30) より A_2, I_2, J_2 がえます。以下この手順をくりかえせば高次の項まで求めることができます。

本稿では、以下において、積分方程式 (25) の厳密解を求めてみよう。

§7 直線状物体の運動

(i) 積分方程式の簡単化

(25) の積分 K が簡単な形になり、かつそれとせに直角方向に分離できる。その結果軸方向の流れについての積分方程式と軸に直角方向の流れに対する積分方程式がそれぞれつづり合に得られる。

(a) 軸方向の流れに対する積分方程式

$$\left. \begin{aligned} K &= A (\lambda + \log 2 - \frac{1}{2} - \log \sqrt{1 - \delta^2}) + w_B(\delta) - W(\delta) \\ &K = \frac{1}{2} \int_{-1}^1 \frac{A(\delta) - A(\delta')}{|\delta' - \delta|} d\delta' \end{aligned} \right\} (31)$$

が軸方向の流れに対する積分方程式として得られ、今お代表的長さ ℓ は物体の長さの半分にとつてある。(31) でヒント $A(s)$ が与えれば、軸方向に働く力 F_t は次式で与えられる。

$$F_t = 2\pi \mu V_0 \ell \int_{-1}^1 A ds \quad (32)$$

(b) 軸に直角方向の流れに対する積分方程式

境界条件 $V - U_B = V_0$ は s によらずを川と存し、 I_s の方向で V_0 の方向に τ る。このとき軸に直角方向の流れに対する積分方程式として次式が得られる。

$$\left. \begin{aligned} d &= (\lambda + \log 2 + \frac{1}{2} - \bar{b}_1(\ell_1) - \log \frac{a_1}{\sqrt{1-s^2}}) I - c_1(\ell_1) J - V_0 \\ e &= -c_1(\ell_1) I + (\lambda + \log 2 + \frac{1}{2} + \bar{b}_1(\ell_1) - \log \frac{a_1}{\sqrt{1-s^2}}) J \end{aligned} \right\} \quad (33)$$

$$d = \frac{1}{2} \int_{-1}^1 \frac{I(s) - I(s')}{|s' - s|} ds', \quad e = \frac{1}{2} \int_{-1}^1 \frac{J(s) - J(s')}{|s' - s|} ds'$$

(33) をヒント $I(s), J(s)$ が与えれば、軸に直角に働く力 F' は

$$F' = 4\pi \mu V_0 \ell \left[\ell_1 \int_{-1}^1 I ds + \int_{-1}^1 J ds \right] \quad (34)$$

で与えられる。

(ii) 積分方程式をみたす解

(31), (33) を考慮して、 τ の下の条件がみたされていふことは、積分方程式の解が容易にみつかる。

(1) $W_0 = W(s) - \omega_B(s)$, V_0 が一定で s は \pm の定数である
とき。

(2)

$$\alpha_* = \sqrt{1-s^2} \text{ すなはち}$$

$$\frac{s^{*2}}{l^2} + \frac{\alpha_{*}^2}{b^2} = 1 \quad (35)$$

第6図

が成り立つとき。ここで * は

無次元化された量を表す。すなはち $b = \alpha^*(0)$ とします。

(3) $\bar{b}_1(R_1)$, $C_1(R_1)$ が s に下るとき。すなはち断面が相似
な形をしていて、接れてるとき。

(a) 軸方向の流れ

(1), (2) の条件を満たすとき、 $A(s) = -\text{定}$, $k = 0$ の解として

$$A = \frac{W_0}{\log \frac{2\ell}{\alpha^*(0)} - \frac{1}{2}}, \quad F_t = \frac{4\pi\mu W_0^* \ell}{\log \frac{2\ell}{\alpha^*(0)} - \frac{1}{2}} \quad (36)$$

が得られる。

(b) 軸=直角方向の流れ

(1), (2), (3) のまたそれなりの結果、 $I(s) = -\text{定}$, $J(s) = -\text{定}$,

$d = e = 0$ の解 $\propto 1/s$, $\rightarrow s$ の結果が得られる。

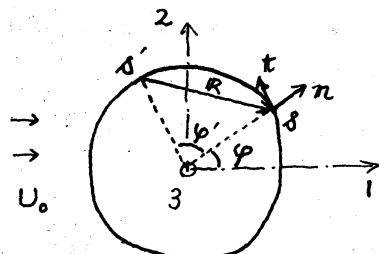
$$\left. \begin{aligned} I &= V_0 (\lambda + \log 2 + \frac{1}{2} + \bar{b}_1(R_1)) / \Delta, \quad J = V_0 C_1(R_1) / \Delta \\ \bar{F}' &= 8\pi\mu V_0^* \ell \left[\left(\log \frac{2\ell}{\alpha^*(0)} + \frac{1}{2} + \bar{b}_1(R_1) \right) R_1 + C_1(R_1) \ell_1 \right] / \Delta \\ \Delta &= \left(\log \frac{2\ell}{\alpha^*(0)} + \frac{1}{2} \right)^2 - \bar{b}_1^2(R_1) - C_1^2(R_1) \end{aligned} \right\} \quad (37)$$

断面が円の場合には、ストークス方程式の厳密解が分つて
いるから、(36), (37) の精度を調べることができます。この場合 (36), (37) の誤差は $O(k^2)$ であることが分る。

§ 8 断面が一様なリングの運動

つきの4箇の場合について積分方程式の厳密解が存在する。

(ii) 一様なリングのリング面内の運動



第7図

左図のように座標軸をえらび、
($U_0, 0, 0$) の一様流中に半径 ℓ のリ
ングがおかれた場合について考えよ。

断面が一様の仮定から $\log a_i = 0$ と
つてよい。(25) 式の $W(s)$ は

$$W(s) = -\sin \varphi t + \cos \varphi n \quad \text{とすから}, \quad R_1 = m, \quad \delta_1 = e_3 \quad \text{とす}.$$

(25) を A, I, J に代入し

$$\left. \begin{aligned} A &= -\sin \varphi \bar{A}, \quad I = \cos \varphi \bar{I}, \quad J = \cos \varphi \bar{J} \\ \bar{A}, \bar{I}, \bar{J} &\cdots \text{一定} \end{aligned} \right\} (38)$$

を仮定し、IKの被積分項は s' の函数であることに注意して積
分すると

$$\begin{aligned} IK &= -\sin \varphi t [(-2 \log 2 + \frac{3}{2}) \bar{A} - 2 \bar{I}] + \cos \varphi n [(\log 2 + 1) \bar{I} \\ &\quad - \bar{A}] + \cos \varphi e_3 [(-2 \log 2 + 2) \bar{J}] \end{aligned} \quad (39)$$

が得られる。 (39) を (25) に代入して $\bar{A}, \bar{I}, \bar{J}$ が決定する。

このようにして得られた \bar{A} , \bar{I} , \bar{J} と (26), (27), (38) たり
物体に働く力 \bar{F} がきまる。 \bar{F} の主流方向の成分 F_1 は

$$F_1 = \frac{3\pi\mu U_0 L [S^2 + (\frac{2}{3}\bar{b}_1 - \frac{13}{3})S + \frac{17}{4} - \frac{7}{3}\bar{b}_1 - \frac{1}{3}(\bar{b}_1^2 + c_1^2)]}{S^3 - 4S^2 + (\frac{11}{4} + \bar{b}_1 - \bar{b}_1^2 - c_1^2)S + \frac{3}{2} - 4\bar{b}_1 + 2(\bar{b}_1^2 + c_1^2)} \quad (40)$$

二二二
 $S = \log(\delta l/a^*)$, $L = 2\pi l$ (41)

のようになる。断面が橢円（半長軸の長さ A^* , 半短軸の長さ B^* ）のときは、 α と半長軸の間の角と α をみて、(15) たり

$$a^* = \frac{A^* + B^*}{2}, \quad \bar{b}_1 = -\frac{\sigma^2}{2} \cos 2\alpha, \quad c_1 = \frac{\sigma^2}{2} \sin 2\alpha, \quad \sigma^2 = \frac{A^* - B^*}{A^* + B^*} \quad (42)$$

のようになるとれば“よいこと”が分る。

(ii) 一様なリンクのリンク面に直角方向の運動

第9図のように座標軸 E と \bar{e}_3 , $(0, 0, V_0)$ の一様流中に
上記のリンクがある場合を考えて。 $(U_1)_x = \bar{e}_3$ となるか
ら, $\bar{e}_1 = \bar{e}_3$, $\bar{e}_2 = \pi$ と $\alpha = \pi$, $A = 0$, $I = \text{const}$, $J = \text{const}$. の
解が存在する。 (i) と同じように計算をして、物体に働く主
流方向の成分 F_3 は

$$F_3 = \frac{4\pi\mu U_0 L (S - \frac{5}{2} + \bar{b}_1)}{S^2 - 2S - \frac{5}{4} + 3\bar{b}_1 - \bar{b}_1^2 - c_1^2} \quad (43)$$

となる。 S, L は (41) と同様で、 a^*, \bar{b}_1, c_1 は断面が橢円
のときは (42) を見てくれば“よい”。ただし α は、二二二では、
 \bar{e}_3 と半長軸の間の角になる。しかし断面が円のときはには、

Tchen²⁾ と Masuda³⁾ の結果と一致する。

(iii) 一様なリンクの 3 軸のまわりの回転



第8図

角速度 $\omega = (0, 0, \omega_0)$ で回転して 113

とき、 $U_B = \tau$ となり、 $A = \text{const}$, $I = J = 0$ の

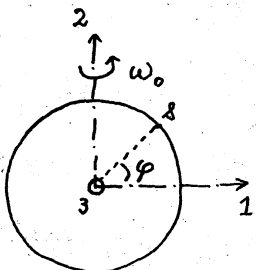
解がある。リンクに働く 3 軸のまわりの

モーメント G_3 は

$$G_3 = - \frac{2\pi\mu l^2 \omega_0 L}{S-2} \quad (44)$$

で与えられる。 S, L は (41) と同様である。

(iv) 一様なリンクの 2 軸のまわりの回転



角速度 $\omega = (0, \omega_0, 0)$ で回転して 113

とき、 $U_B = -\cos\varphi \cdot e_3$ となり、 $\bar{b}_1 = e_3$, $\bar{\theta}_1 = \varphi$

とおってよい。(ii) の場合と同じように

(38) を仮定して IK を計算し、リンクに働く

2 軸のまわりのトルク G_2 は

$$G_2 = - \frac{2\pi\mu l^2 \omega_0 L [S^2 + (\bar{b}_1 - \frac{c}{2}) S - 1 - 2\bar{b}_1]}{S^3 - 4S^2 + (\frac{11}{4} - \bar{b}_1 - \bar{b}_1^2 - c^2) S + \frac{3}{2} + 4\bar{b}_1 + 2\bar{b}_1^2 + 2c^2} \quad (45)$$

のように得られる。 S, L は (41) と同様であり、 a^*, \bar{b}_1, c

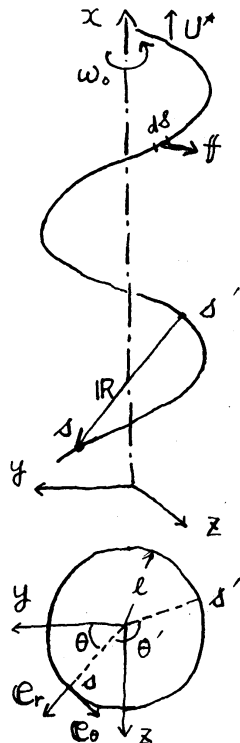
については (ii) の場合と同じものをとれはよい。

ときに $c_1 = 0$ のときには (45) はつきのようになる。

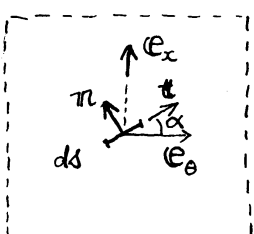
$$G_2 = - \frac{2\pi\mu l^2 \omega_0 L}{S - \frac{3}{2} - \bar{b}_1} \quad (46)$$

いま $-\frac{1}{2} \leq \bar{b}_1 \leq \frac{1}{2}$ と考へられるから、(44) と (46) を比較し
て、 $|G_3| \geq |G_2|$ が成立する。 $\bar{b}_1 = \frac{1}{2}$ (断面が平板状)
のとき $|G_3| = |G_2|$ となる。

§9 無限に続き、かつ断面が一様である螺旋状物体の運動



螺旋の ds 部分に働く力を $f ds$ とする。いま $f \cdot e_x \neq 0$ ないとき、ストークス方程式の解は存在しない (軸方向に運動する 2 次元物体に対するストークス方程式の解が存在しないのと同じ理由)。ストークス方程式の解が存在するためには $f \cdot e_x = 0$ が必要である。この条件は区軸のまわりに角速度 ω_0 で回転しつつ区軸方向に適当な速度 U^* で前進してリとを満たす。以下において丁度このような場合を考える。



第 10 図

いま位置ベクトルを螺旋の振幅 l で、速度ベクトルを $l\omega_0$ で無次元化しよう。さて第 10 図のように、 ds と e_x を同一平面を考へ、 π と ds に垂直でかつこの面内

は西の單位ベクトル、 α を $d\theta$ と e_θ の間の角とする。この

$$U_B = e_\theta + U e_x = (\cos \alpha + U \sin \alpha) \hat{t} + (-\sin \alpha + U \cos \alpha) \hat{n}$$

であるから $\hat{t}_1 = \hat{m}$, $\hat{t}_2 = e_r$ となる。このとき A, I, J は

これが t に付する定数と仮定するここと並んである。 $\hat{t} \cdot e_x = 0$

の条件から $A \sin \alpha + 2I \cos \alpha = 0$ でなければならぬ。すな

$$A = B \cos \alpha, \quad I = -B \sin \alpha / 2 \quad \text{とする} \quad K \text{を計算して}$$

$$K = \frac{B}{2} \left[1 + (1 + \cos^2 \alpha) \log \cos \alpha - \sin^2 \alpha R_1 - 2 \cos^2 \alpha R_2 \right] e_\theta + \frac{B}{2} \cos \alpha \sin \alpha (\log \cos \alpha - R_1) e_x + J \left[1 + \log \cos \alpha - \sin^2 \alpha R_1 - 2 \cos^2 \alpha R_2 + \cos^2 \alpha R_3 \right] e_r \quad (47)$$

$$R_i = \int_{\varepsilon}^{\infty} \frac{T_i dt}{(\sin^2 \alpha t^2 + 4 \cos^2 \alpha \sin^2 \frac{t}{2})^{\frac{3}{2}}} + \log \varepsilon, \quad \begin{cases} T_1 = t \sin \alpha \\ T_2 = \sin^2 t \\ T_3 = 4 \sin^2 \frac{t}{2} \end{cases} \quad (48)$$

となる。(47) と (25) は式の左辺と右辺、 B, J, U は \rightarrow の左

と右辺。

$$\begin{aligned} B &= -\frac{2}{1 + \cos^2 \alpha} \cdot \frac{Q_1}{\Delta}, \quad J = \frac{C_1 \sin \alpha}{(1 + \cos^2 \alpha) \Delta} \\ U &= \frac{U^*}{l \omega_0} = \frac{\sin \alpha \cos \alpha}{1 + \cos^2 \alpha} \left[1 + \frac{2 \{ \bar{b}_1 - \frac{1}{2} + \cos^2 \alpha (R_1 - R_2) \} Q_1 + 2 C_1^2}{(1 + \cos^2 \alpha) \Delta} \right] \\ \Delta &= Q_1 Q_2 - \frac{C_1^2 \sin^2 \alpha}{1 + \cos^2 \alpha} \\ Q_1 &= \log \frac{2l}{\alpha^* \cos \alpha} - \frac{1}{2} + \bar{b}_1 + \sin^2 \alpha R_1 + 2 \cos^2 \alpha R_2 - \cos^2 \alpha R_3 \\ Q_2 &= \log \frac{2l}{\alpha^* \cos \alpha} - \frac{1}{1 + \cos^2 \alpha} \left(\frac{1 + 3 \cos^2 \alpha}{2} + \sin^2 \alpha \bar{b}_1 - \sin^2 \alpha R_1 - 2 \cos^2 \alpha R_2 \right) \end{aligned} \quad (49)$$

また、物体の単位長さに働く力 F は

$$f = 2\pi\mu l \omega_0 (B\epsilon_\theta + 2J\epsilon_r) \quad (50)$$

となり、 a^* , \bar{b}_r , c_r は断面が梢円のときには (42) 式でこれら
とくに断面が円 ($c_r = 0$, $\bar{b}_r = 0$) のときは、Lighthill
(Flagellar Hydrodynamics, Lecture Note, 1975) によつて得ら
れた結果と一緒に致する。

§10 まとめ

細長い物体のまわりのおそい流れについては、流体力学的立場から興味があるのはかりでなく、微小な生物の運動、レオロジーなどに関連してその研究の推進が望まれてゐる。例えば螺旋状物体の運動のところで得られた (49) 式で、 $U = U^*/l\omega_0$ の式は、頭部のない微小な生物が螺旋状の波動運動をししながら前進するときの (前進速度 / 波の伝播速度) $\times \tan\alpha$ と等しいことにたどり、微小な生物のペん毛が、螺旋状の波動運動をするとき、表面圧力が非常に大きくなるから、断面の形が円から変形する事も考えられ、そのような場合に同式は用ひられており。また断面が一様なリンクが運動するときの結果は、レオロジー関係での利用が期待されており。

一般に積分方程式 (25), (31), (33) の厳密解を見出すことがむづかしい場合が多い。このときは 3 による展開の形で解を求めることができます。例えば (28) が §7 (2) の条件をみたさ

川直線状物体、円弧状物体、直進または回転する有限の長さの螺旋などの運動に対するは、 ε による展開の方法で流れの状態を解析し、直線状物体については $O(\varepsilon^3)$ 、その他の場合については $O(\varepsilon^2)$ まで求められてゐる。

文 献

- (1) G. J. Hancock : Proc. Roy. Soc. Ser. A 217 (1953) 96
- (2) C. M. Tchen : J. Appl. Phys. 25 (1954) 463
- (3) R. G. Cox : J. Fluid Mech. 44 (1970) 791
- (4) J. B. Keller & S. L. Rubinow : J. Fluid Mech. 15 (1976) 705
- (5) G. K. Batchelor : J. Fluid Mech. 44 (1970) 419
- (6) 成瀬貞文雄 : 京都大学数理解析研究所講究録, 234, 4 (1975)
- (7) H. Maeda : Bulletin of Faculty of General Education, Utsunomiya University, No. 3 (1970), Sec. 2, 11